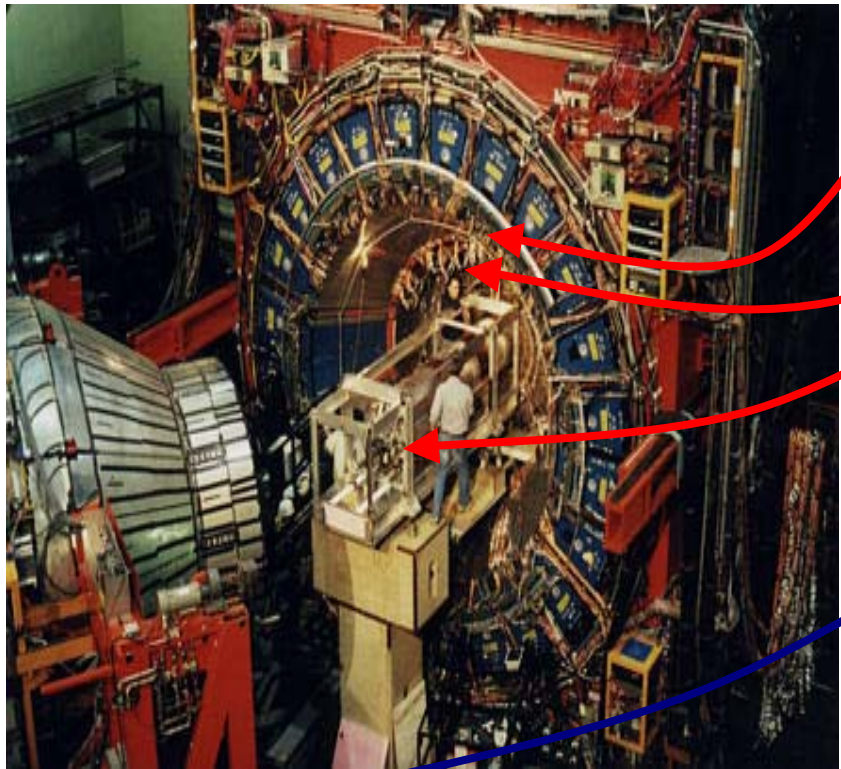


*Vidas medias y oscilaciones
de mesones B en el
experimento CDF del
Tevatron*

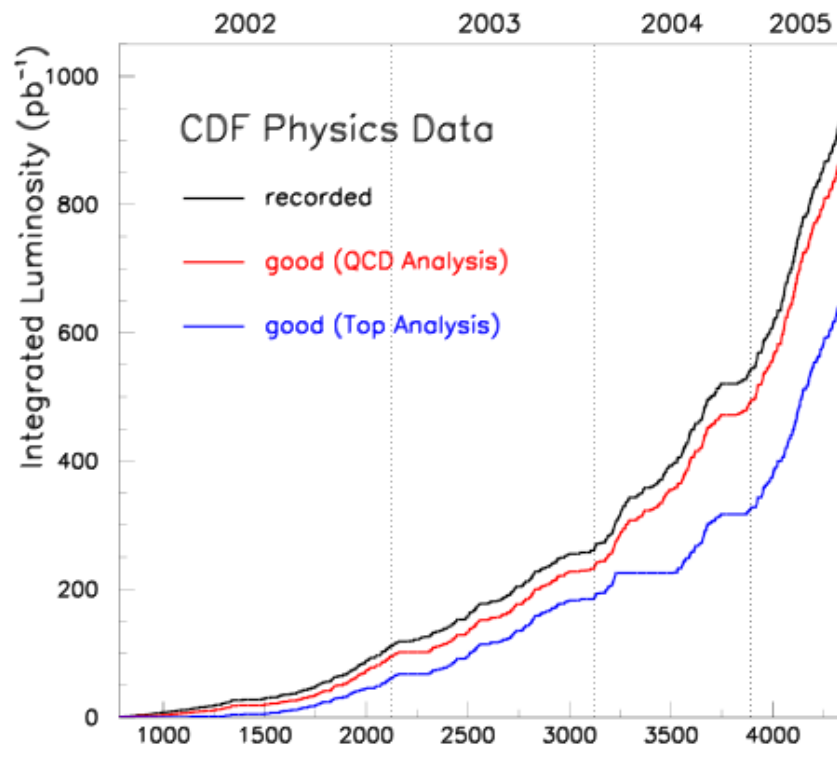
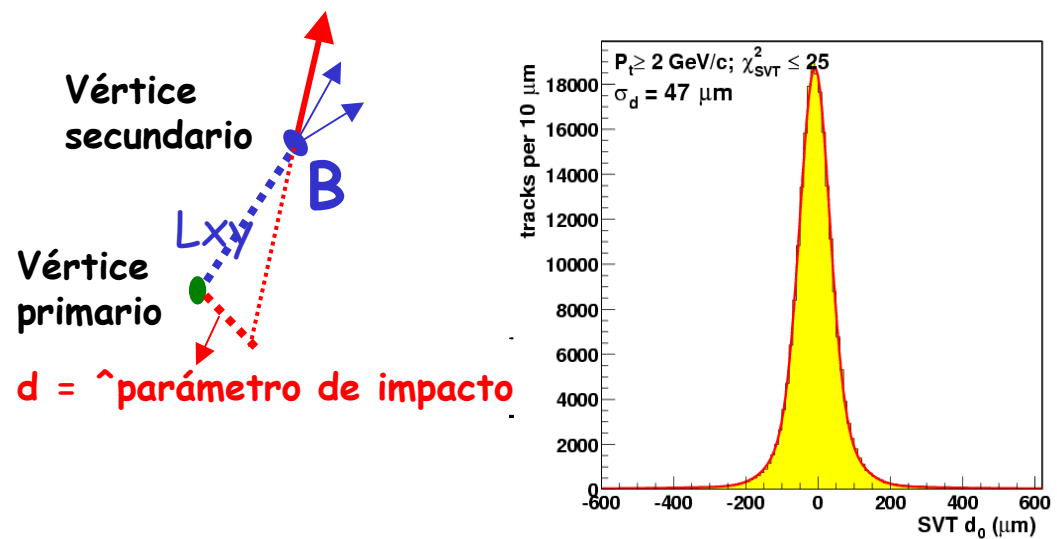
Alberto Ruiz Jimeno
IFCA

13 Septiembre 2005

XXX Reunión Bienal de la Real Sociedad Española de Física
Jornadas de Altas Energías

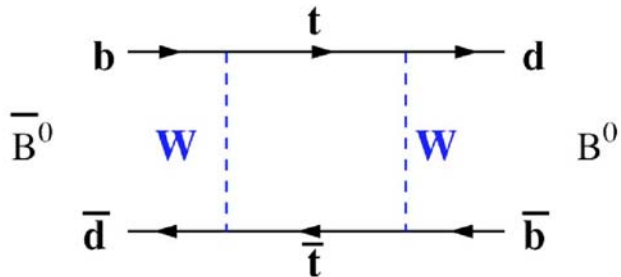


TOF, para separación $K\pi$
 Central Tracker (COT)
 con dE/dx para PID
 Silicon microvertex
 Trigger de traza
 desplazada



B_s Mixing

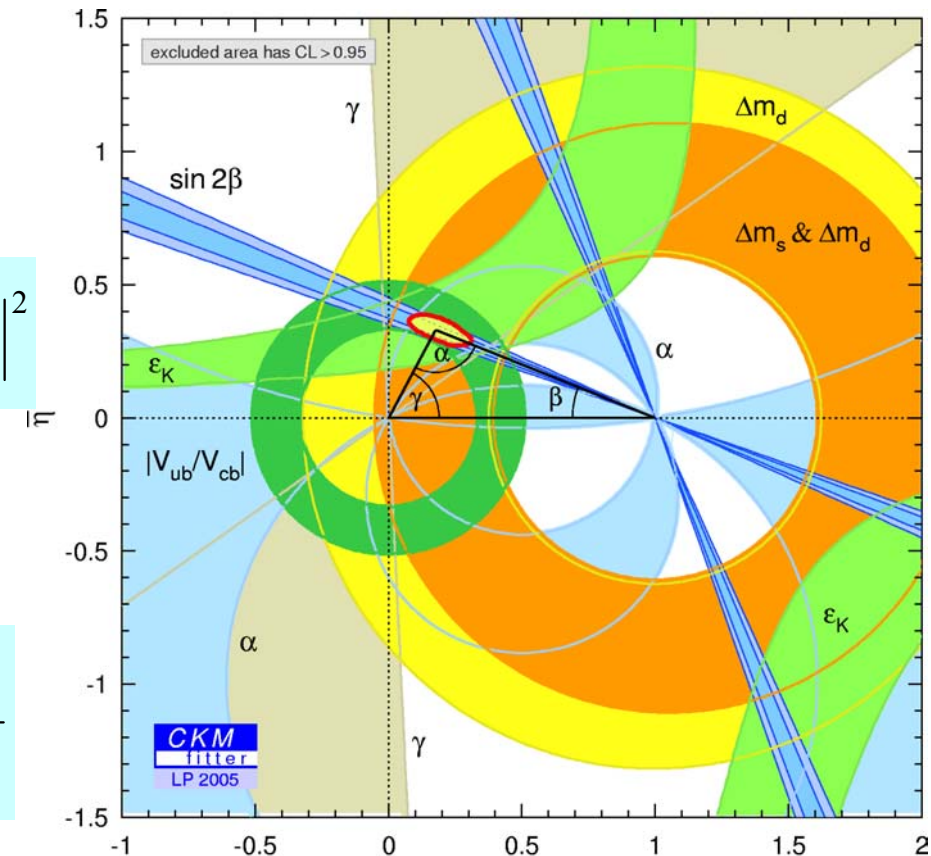
- “Boxes”, en el modelo estándar causan mixing de mesones B neutros



$$\Delta m_q = \frac{G_F^2 m_W^2 \eta S(m_t^2 / m_W^2)}{6\pi^2} m_{Bq} f_{Bq}^2 B_{Bq} |V_{tq}^* V_{tb}|^2$$

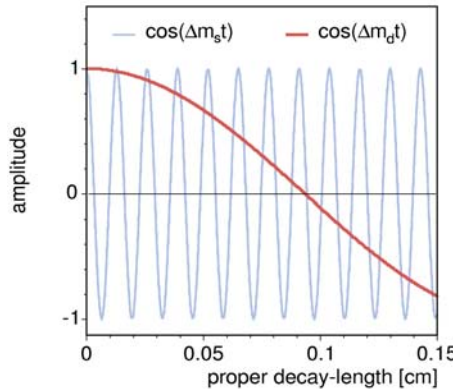
- La relación entre $\Delta m_{d,s}$ y $V_{td,s}$ (**CKM** elementos de matriz) es

$$\frac{\Delta m_s}{\Delta m_d} = \frac{m_{Bs}}{m_{Bd}} \frac{f_{Bs}^2 B_{Bs}}{f_{Bd}^2 B_{Bd}} \frac{|V_{ts}|^2}{|V_{td}|^2} = \frac{m_{Bs}}{m_{Bd}} \xi^2 \frac{|V_{ts}|^2}{|V_{td}|^2}$$



Análisis para Δm_s en $B_s^0 \rightarrow D_s^- \pi^+$

Δm_s difícil, oscilaciones rápidas ————— Ajuste directo Δm_s aún no logrado



$$\Delta m_d = 0.5 \text{ ps}^{-1}$$

$$\Delta m_s \equiv 14.4 \text{ ps}^{-1}$$

Mejorar el límite mundial

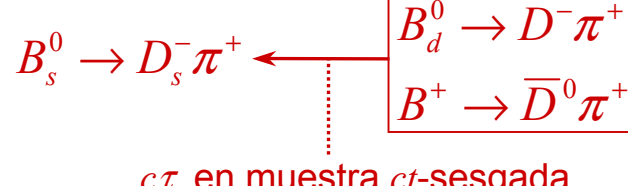
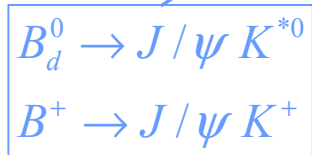
Dilución suceso a suceso

“amplitude scan”

Normalización de la dilución en “Opposite Side Flavor Taggers” en muestras similares al B_s^0
Factores de escala de la dilución S_D

Muestra de calibración de la dilución $\neq B_s^0$ muestra de análisis

Calibrado de la dilución de “Opposite Side Taggers”



Di-Muon Trigger

Two-Track Trigger

Lepton-Track Trigger

Ingredientes

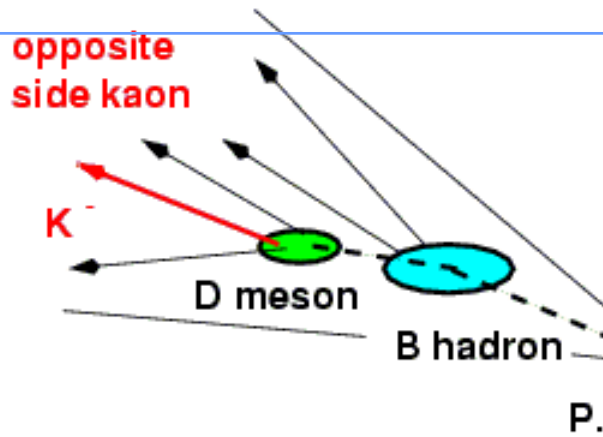
Opposite Side Trigger Side

3. *b*-Flavor Tagging

Parametrizar la dilución en la muestra
lepton+track

Absoluta calibración in totalmente reconstruidos

$B_{u,d}$



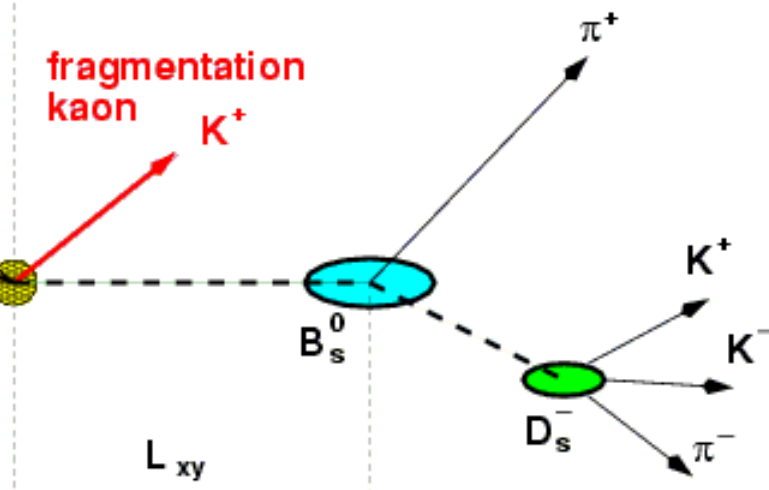
2. Longitud de desintegración propia

S_{ct} determinada en $J/\psi K$

SVT+cortes modifican la distribución de
 ct distribution en $D\pi$

1. Reconstrucción del estado final

B señales de two-track y di-muon triggers

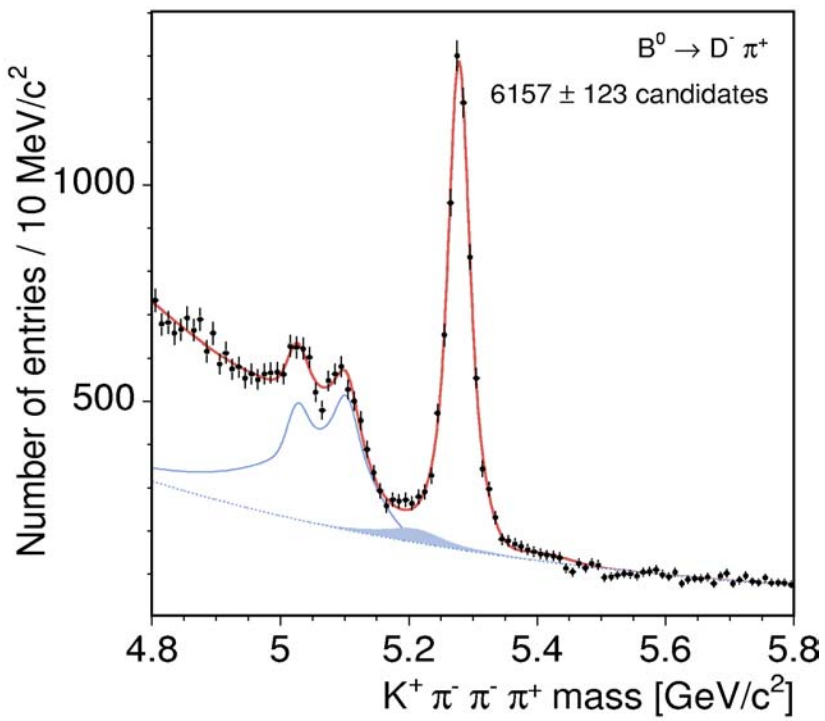


$$ct = L_{xy} \frac{m_B}{p_T}$$

4. “Amplitude Scan” para B_s Mixing

Distribuciones de masa para $\mathcal{L} \approx 355 \text{ pb}^{-1}$

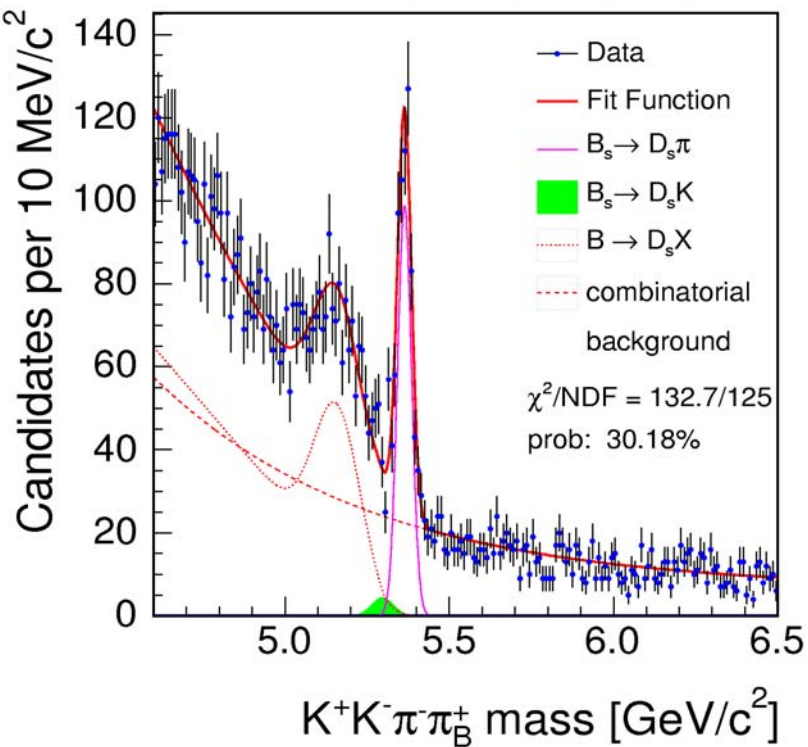
CDF Run II Preliminary $\mathcal{L} \approx 355 \text{ pb}^{-1}$



$B^+ \rightarrow J/\psi K^+$	5300
$B^+ \rightarrow \bar{D}^0 \pi^+$	5600
$B_d^0 \rightarrow J/\psi K^{*0}$	2200
$B_d^0 \rightarrow D^- \pi^+$	6200

Muestra calibracion

CDFII Preliminary, $355 \text{ pb}^{-1}, B_s \rightarrow D_s \pi, D_s \rightarrow \phi \pi$



$B_s^0 \rightarrow D_s^- \pi_B^+$	
$D_s^- \rightarrow \phi \pi^-$	526 ± 33
$D_s^- \rightarrow \pi^+ \pi^- \pi^-$	115 ± 18
$D_s^- \rightarrow K^{*0} K^-$	254 ± 21

B_s muestra

Likelihood

- Usa ajuste del “unbinned maximum likelihood”

$$\mathcal{L} = \prod_i P_i(\vec{x}^i), \quad \vec{x}^i = (m^i, ct^i, \sigma_{ct}^i)$$

- P_i es la Función de Densidad de Probabilidad del suceso i

$$P(\vec{x}) = L^S + L^B = f_S L_M^S(m) L_{ct}^S(ct, \sigma_{ct}) + f_B L_M^B(m) L_{ct}^B(ct, \sigma_{ct})$$

- S = señal verdadera y desintegraciones mal reconstruidas
- B = ruido combinatorial
- L_{ct}^S para $B \rightarrow J/\psi K$ y $B \rightarrow D\pi$

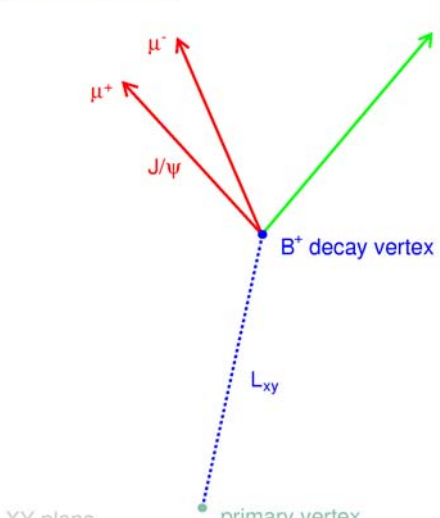
$$L_{ct}^S(ct, \sigma_{ct}) = \frac{1}{N(\sigma_{ct})} \left[\frac{1}{c\tau} e^{-\frac{ct}{c\tau}} \theta(ct') \otimes G(ct - ct', S_{ct} \sigma_{ct}) \right] \xi(ct)$$

Curva de eficiencia

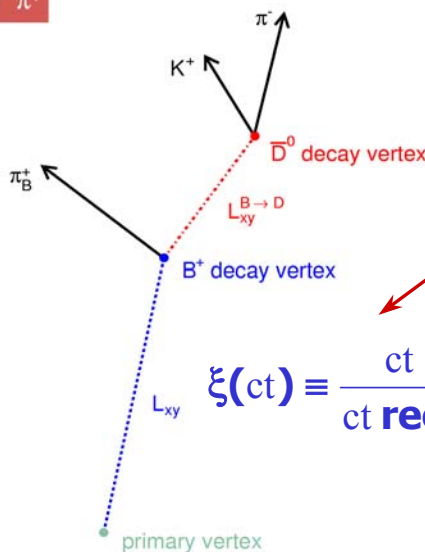
- S_{ct} factor de escala por la subestimación de la resolución de ct

Curva de eficiencia de ct

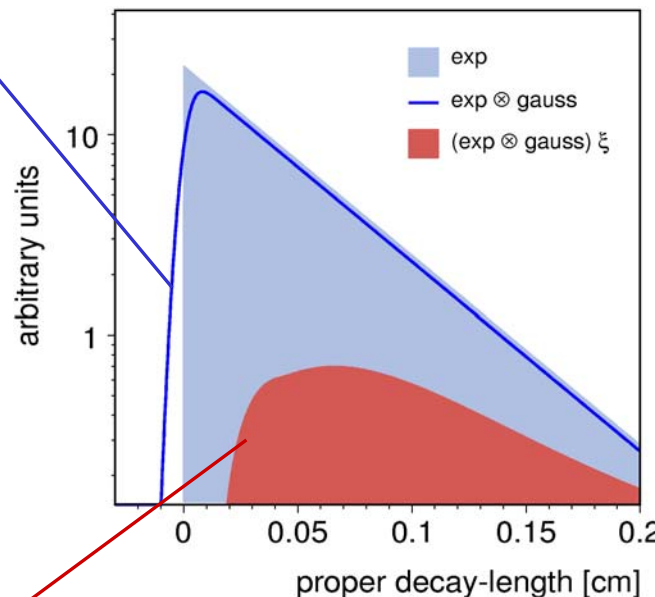
$B^+ \rightarrow J/\psi K^+$



$B^+ \rightarrow \bar{D}^0 \pi^+$

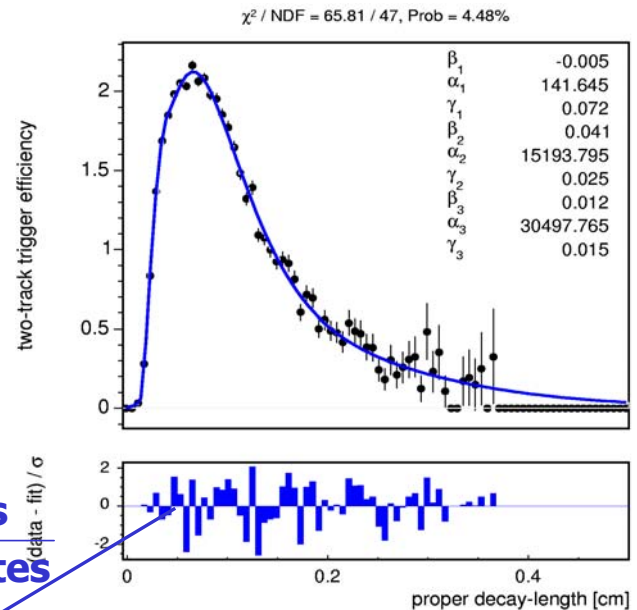


- SVT trigger y los cortes de selección sesgan la distribución de ct de las desintegraciones $B \rightarrow D\pi$

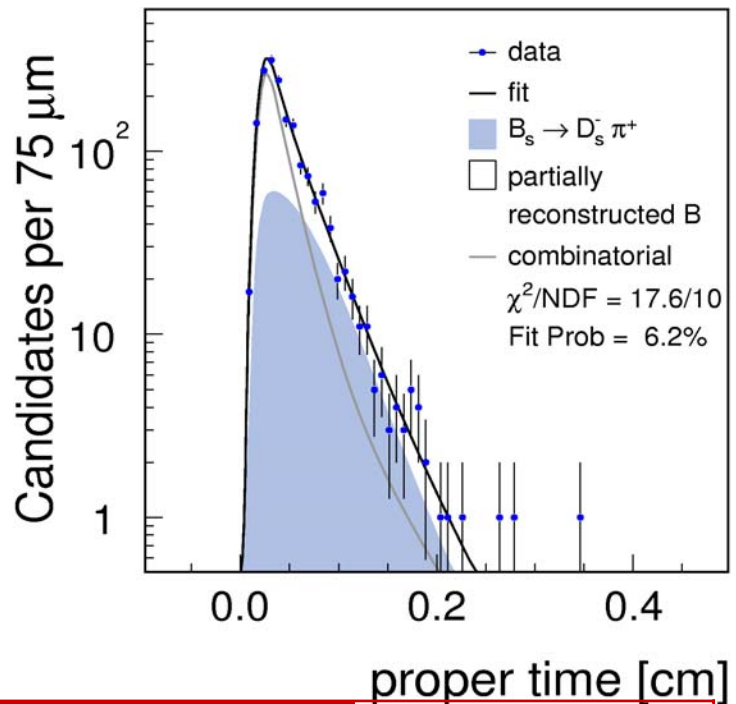
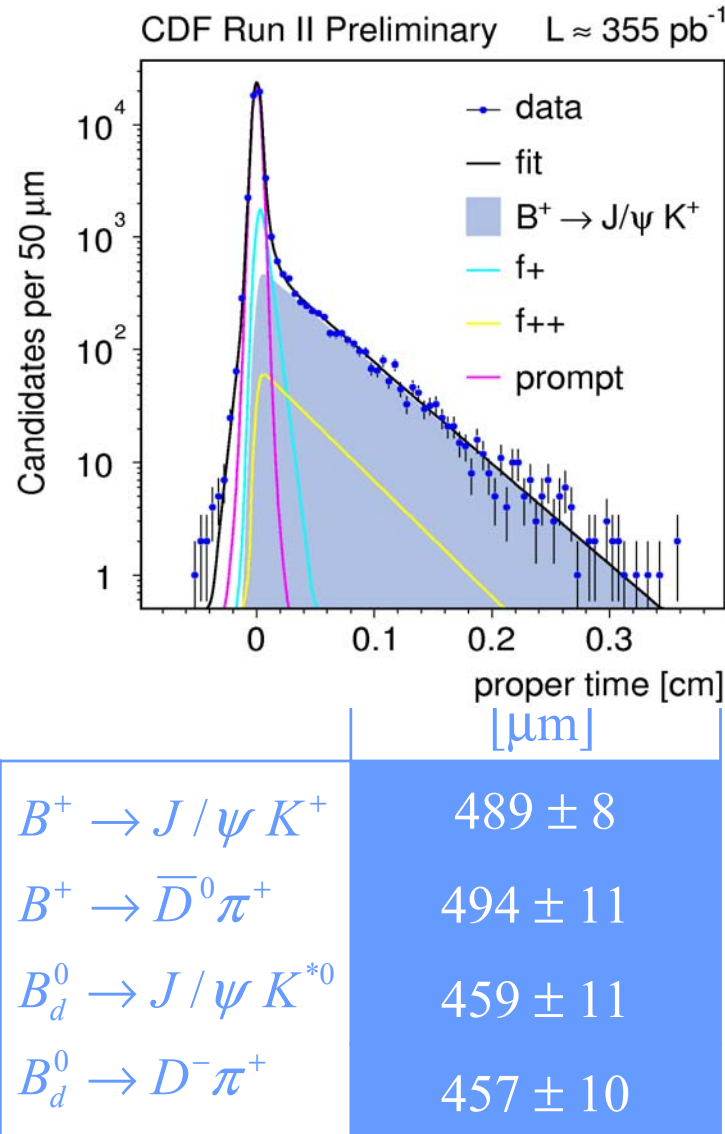


$$\xi(ct) \equiv \frac{\text{ct reconstruido TRAS trigger + cortes}}{\text{ct reconstruido ANTES de trigger + cortes}}$$

- Corregido con la función $\xi(ct)$ determinada en MC

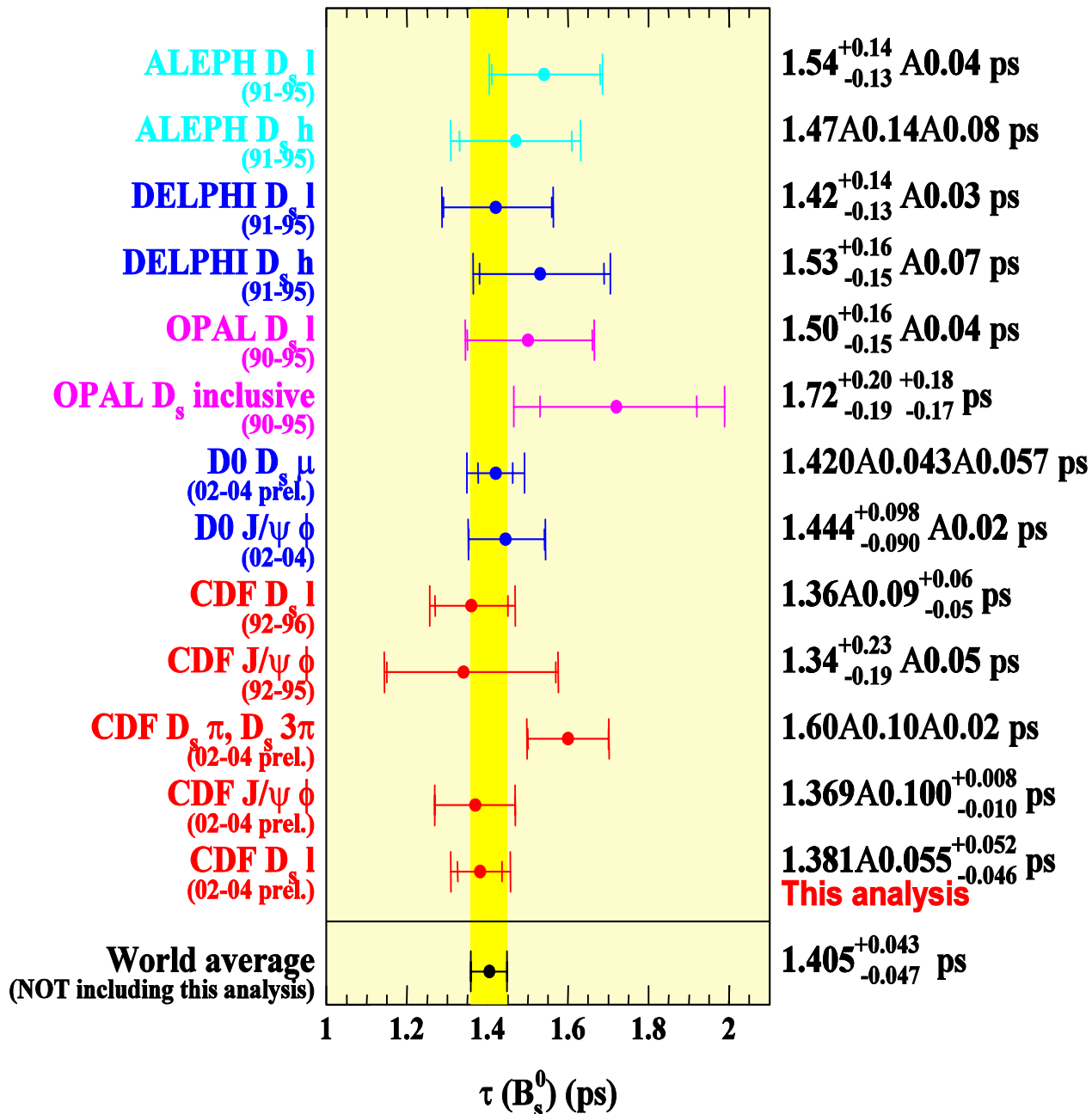


Resultados vidas medias



$B_s^0 \rightarrow D_s^- \pi_B^+$	[μm]
$D_s^- \rightarrow \phi \pi^-$	456 ± 27
$D_s^- \rightarrow \pi^+ \pi^- \pi^-$	465 ± 39
$D_s^- \rightarrow K^{*0} K^-$	413 ± 56

Resultados vidas medias



Etiquetado sabor-*b*

- Determina el sabor del *b* a tiempo de producción
- b* quark producidos en pares
 \Rightarrow etiquetado en Trigger Side u Opposite Side

SecVtx jet Vértice secundario

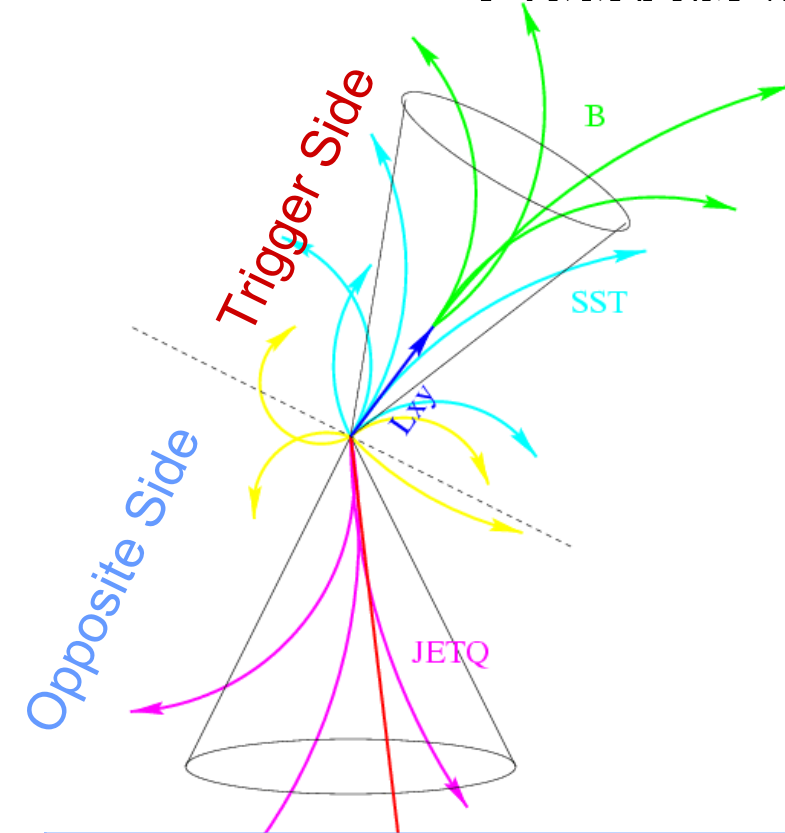
J_P jet Traza desplazada

high-P_T jet mayor P_T

Soft Muon Tagger $\bar{b} \rightarrow c\mu^+\nu_\mu X$

Soft Electron Tagger $\bar{b} \rightarrow ce^+\nu_e X$

$$\sigma_{A_{measured}} \propto \frac{1}{\sqrt{\mathcal{E}\mathcal{D}^2 N}}$$

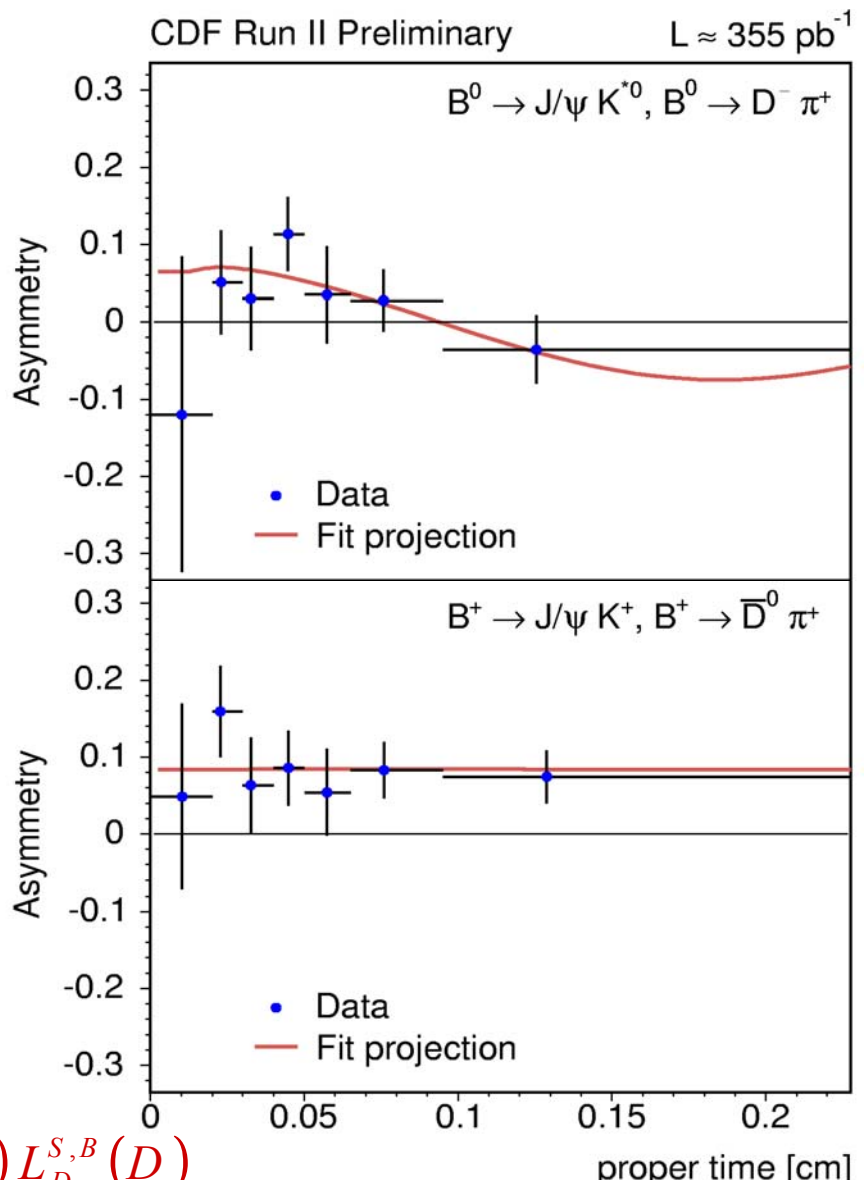


tagger		$\mathcal{E}\mathcal{D}^2$ (%)
Soft Lepton	Muon	0.70
	Electron	0.37
Jet Charge	<i>SecVtx jet</i>	0.36
	<i>J_P jet</i>	0.21
	<i>high-P_T jet</i>	0.15

Resultados factores de escala

tagger	S_D
SMT	$0.83 \pm 0.10 \pm 0.03$
SET	$0.79 \pm 0.14 \pm 0.04$
JVX	$0.78 \pm 0.19 \pm 0.05$
JJP	$0.76 \pm 0.21 \pm 0.03$
JPT	$1.35 \pm 0.26 \pm 0.02$
$\langle S_D \rangle$	$0.85 \pm 0.07 \pm 0.01$

	Δm_d [ps $^{-1}$]
CDF	$0.503 \pm 0.063 \pm 0.015$
PDG	0.510 ± 0.005



$$L_{ct}^{S,B}(ct, \sigma_{ct}) \quad \Rightarrow \quad L_{ct}^{S,B}(ct, \sigma_{ct}, tag, D) L_D^{S,B}(D)$$

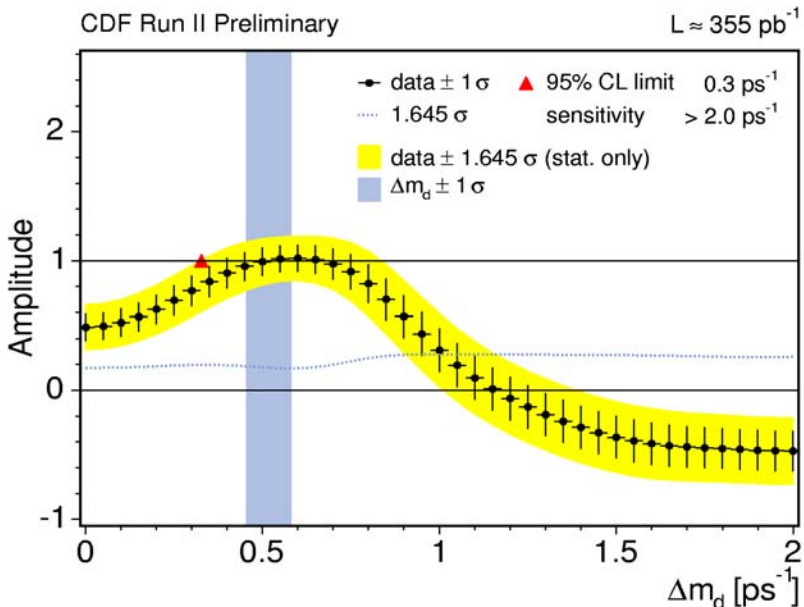
$$L_{ct}^S(ct, \sigma_{ct}, D, tag = \pm 1) \propto \epsilon \frac{1 \pm S_D D \cos(\Delta m_d t')}{2} e^{-\frac{ct'}{c\tau}} \theta(ct') \otimes G(ct - ct') \xi(ct)$$

“Amplitude Scan” en Δm_d

- Nueva likelihood

$$L_{ct}^S \propto 1 \pm AS_D D \cos(\Delta mt')$$

- Ajuste de A for varios valores de Δm , obteniendo $A(\Delta m)$ y $\sigma_A(\Delta m)$
- Si los etiquetadores están calibrados, $A = 1$ para la frecuencia de oscilación verdadera
- Excluido al 95% CL $A(\Delta m) + 1.645\sigma_A(\Delta m) < 1$



- Test conjunto de $B_d \rightarrow D^- \pi^+$ and $B_d \rightarrow J/\psi K^{*0}$
 - ▶ $A = 1$ a aprox. $\Delta m_d = 0.5 \text{ ps}^{-1}$
 - ▶ $A \sim 0$ fuera de $\Delta m_d = 0.5 \text{ ps}^{-1}$
- Comparar con ajuste de Δm_d (banda azul)

Amplitude Scan en Δm_s

- sensitividad medida, $1.645 \sigma_A (\Delta m_s = 0.4 \text{ ps}^{-1}) = 1$

- 95% CL limite, 0.0 ps^{-1}

- Semileptonico + hadronico

 - Sensitividad

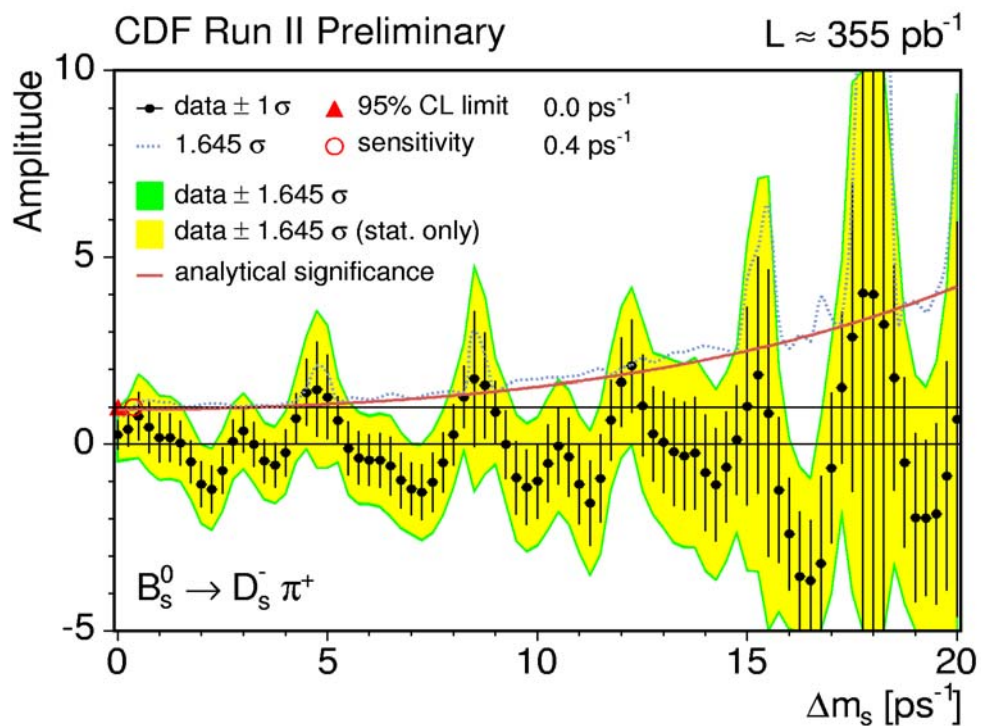
 - $7.4 \rightarrow 8.4 \text{ ps}^{-1}$ $5.1 \text{ ps}^{-1} \text{ in Run I}$

 - 95% CL limite

 - $7.7 \rightarrow 7.9 \text{ ps}^{-1}$ $6.0 \text{ ps}^{-1} \text{ in Run I}$

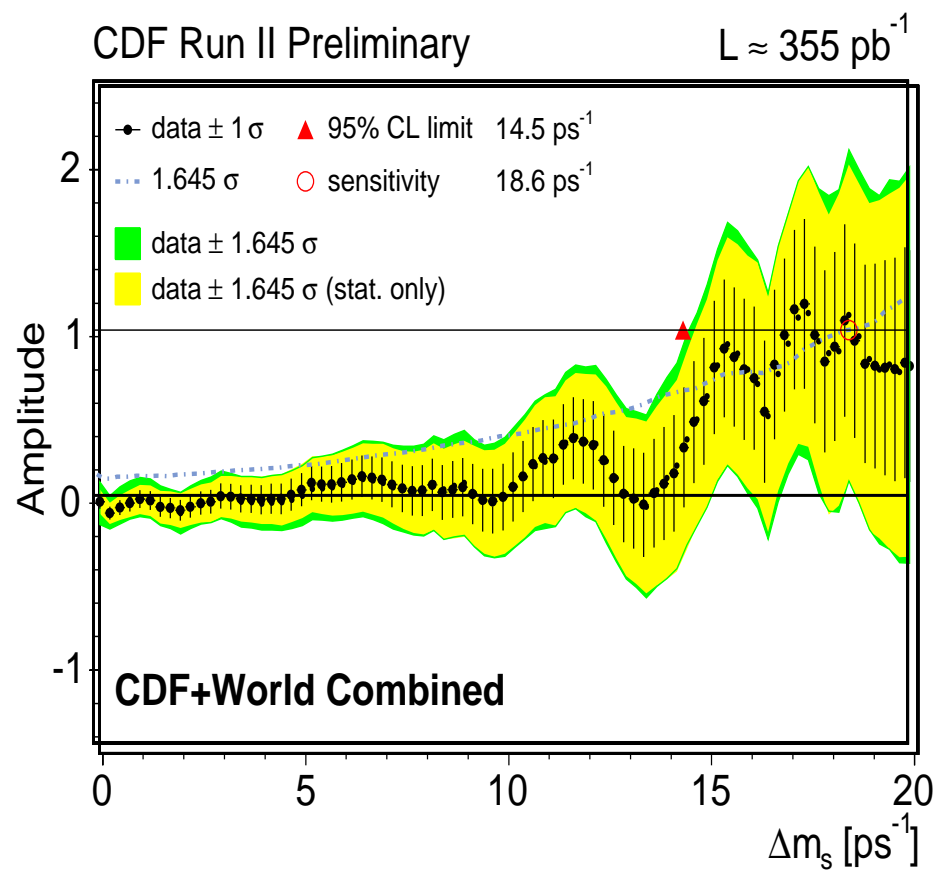
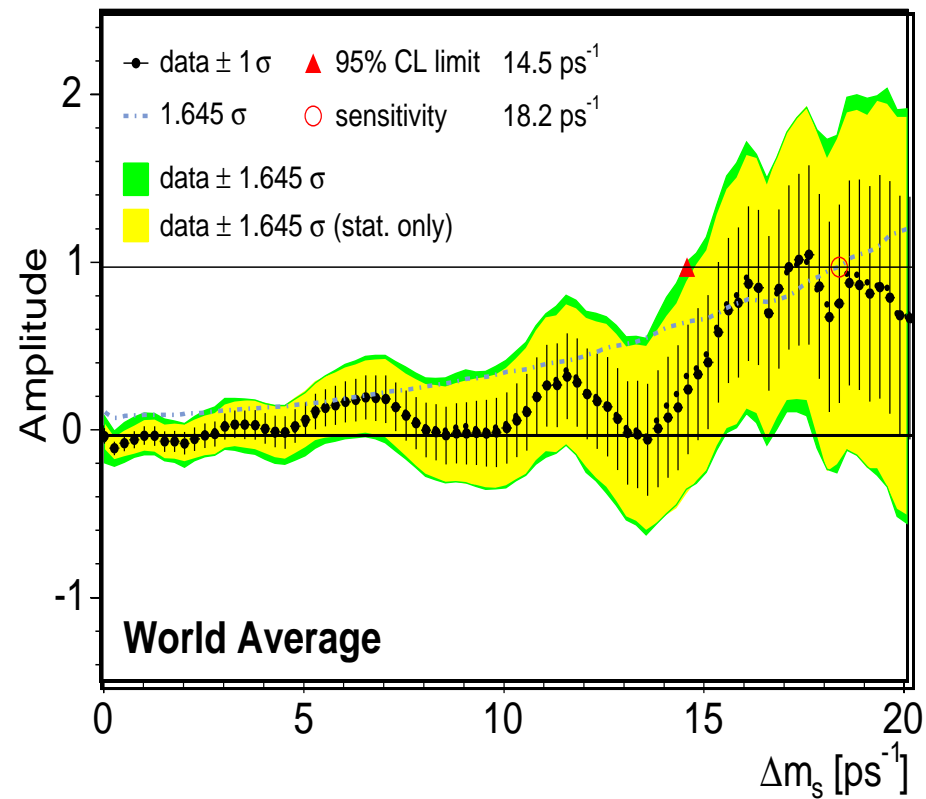
- Significancia analitica

$$\frac{1}{\sigma_A} = \frac{S}{\sqrt{S+B}} \sqrt{\frac{\epsilon D^2}{2}} e^{-\frac{1}{2}\sigma_{ct}^2 \Delta m_s^2}$$



CDF+ Resultado combinado mundial

- World Average
 - LEP, SLD, CDF run I
- World Average + CDF Run II



Backup

Triángulo de Unitariedad

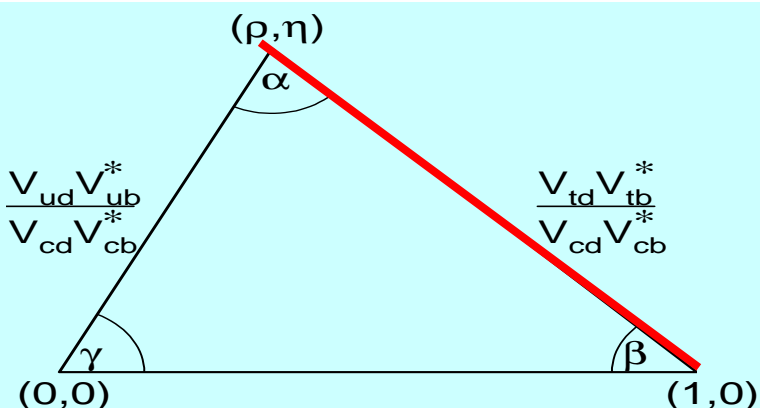
- CKM Matrix (Wolfenstein parametrización)

$$V_{CKM} = \begin{pmatrix} V_{ud} & V_{us} & V_{ub} \\ V_{cd} & V_{cs} & V_{cb} \\ V_{td} & V_{ts} & V_{tb} \end{pmatrix} = \begin{pmatrix} 1 - \lambda^2 / 2 & \lambda & A\lambda^3(\rho - i\eta) \\ -\lambda & 1 - \lambda^2 / 2 & A\lambda^2 \\ A\lambda^3(1 - \rho - i\eta) & -A\lambda^2 & 1 \end{pmatrix} + O(\lambda^4)$$

- Unitariedad de CKM Matrix

$$V_{ud}V_{ub}^* + V_{cd}V_{cb}^* + V_{td}V_{tb}^* = 0$$

- Triángulo de Unitariedad



- $|V_{cb}| = |V_{ts}|$

$$\left| \frac{V_{td}V_{tb}^*}{V_{cd}V_{cb}^*} \right| = \frac{|V_{td}|}{|V_{ts}|} \times \frac{1}{|V_{cd}|}$$

- $|V_{cd}|$ conocido con 5% precision
 - 0.224 ± 0.012
- Objeto principal del B_s mixing:
 - Precisa determinacion de un lado del triángulo de unitariedad

Sumario de la Señal

	Hadronico (S/B)	Semileptonico (S/B)
$B_s: D_s \rightarrow \phi\pi$	526 ± 33 (1.8)	4355 ± 94 (3.1)
$B_s: D_s \rightarrow K^*K$	254 ± 21 (1.7)	1750 ± 83 (0.4)
$B_s: D_s \rightarrow \pi\pi\pi$	116 ± 18 (1.0)	1573 ± 88 (0.3)
$B^+: D^0 \rightarrow K\pi$	~ 6200	$\sim 100K$
$B^0: D^{*+} \rightarrow K\pi$	“satellite”	$\sim 25K$
$B^0: D^+ \rightarrow K\pi\pi$	~ 5600	$\sim 52K$

	Hadronico (ps)	Semileptonico (ps)
$B_s:D_s \rightarrow \phi\pi$		1.51 ± 0.04 stat. only
$B_s:D_s \rightarrow K^*K$		1.38 ± 0.07 stat. only
$B_s:D_s \rightarrow \pi\pi\pi$		1.40 ± 0.09 stat. only
B_s combined	$1.59 \pm 0.10 \pm 0.02$	1.48 ± 0.03 stat. only
$B^+:D^0 \rightarrow K\pi$	$1.66 \pm 0.03 \pm 0.01$	
$B^0:D^+ \rightarrow K\pi\pi$	$1.51 \pm 0.02 \pm 0.02$	

1st error: estadístico

2nd error: sistematico

- vida media semileptonica B_s :
 - Resultados no para física
 - incertidumbre estad. x2 mejor que WA
 - necesario más trabajo respecto al fondo.

- Mundial actual

- B^0 : (1.534 ± 0.013) ps
- B^+ : (1.653 ± 0.014) ps
- B_s : (1.469 ± 0.059) ps

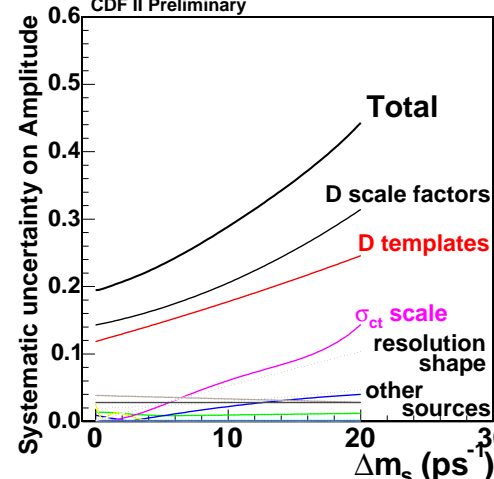
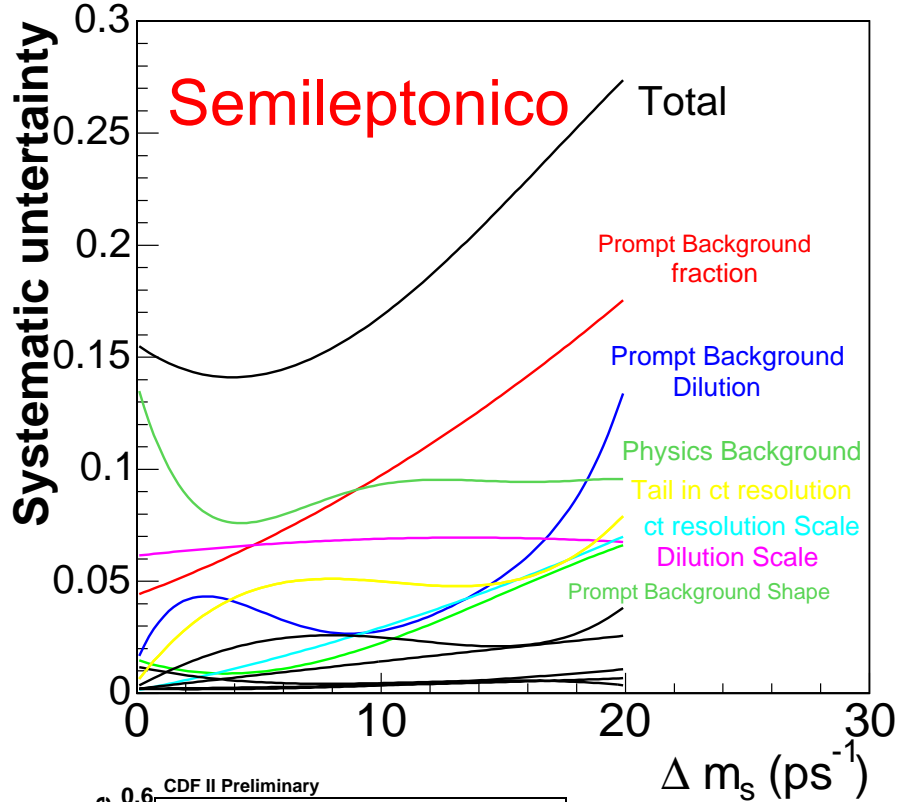
1st error: estadístico
2nd error: sistemático

	Hadronico	Semileptonico
Δm_d	$(0.503 \pm 0.063 \pm 0.015) \text{ ps}^{-1}$	$(0.498 \pm 0.028 \pm 0.015) \text{ ps}^{-1}$
Total ϵD^2	$(1.12 \pm 0.23)\%$	$(1.43 \pm 0.09)\%$
Escala dilución		
Muon	$0.83 \pm 0.10 \pm 0.03$	$0.93 \pm 0.04 \pm 0.03$
Electron	$0.79 \pm 0.14 \pm 0.04$	$0.98 \pm 0.06 \pm 0.03$
Vertice	$0.78 \pm 0.19 \pm 0.05$	$0.97 \pm 0.06 \pm 0.04$
Traza	$0.76 \pm 0.21 \pm 0.03$	$0.90 \pm 0.08 \pm 0.05$
Jets	$1.35 \pm 0.26 \pm 0.02$	$1.08 \pm 0.09 \pm 0.09$

- Media mundial $\Delta m_d = 0.510 \pm 0.005 \text{ ps}^{-1}$
- Total ϵD^2 : 1.1—1.4%
- Factores de escala de dilución consistentes con 1
 - Hadronico: 15~25% incertidumbre
 - Semileptonico: 5~15% incertidumbre

Incertidumbre sistemática

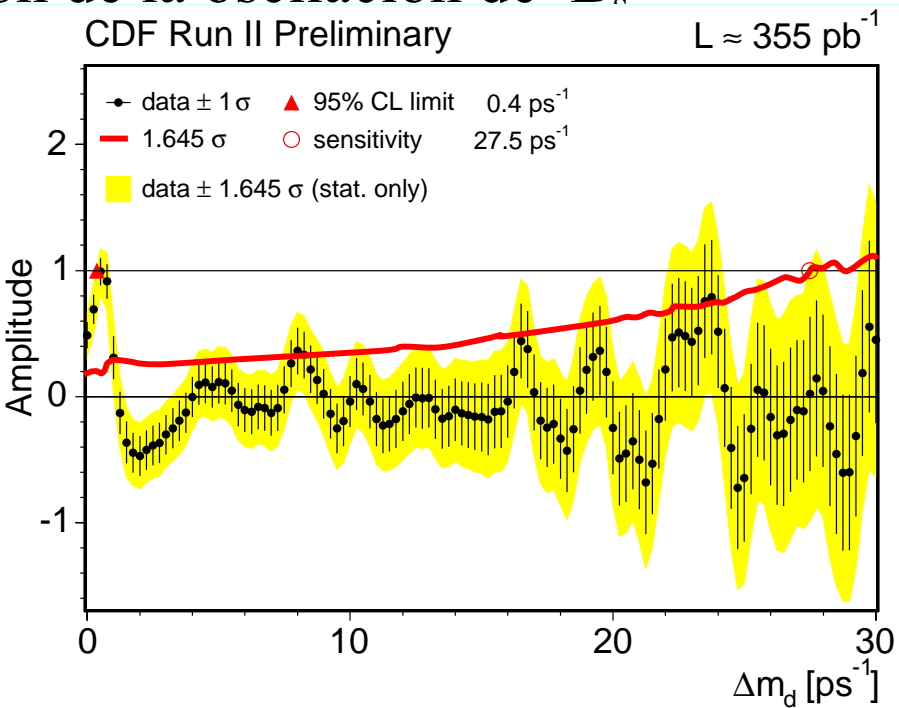
- La incertidumbre sistemática despreciable en comparación con la estadística
- Semileptonico
 - Ruido físico:
 - Cambia la fraccion del ruido $+1\sigma$ para su incertidumbre
 - Ruido “prompt”
 - Tomar desviación del caso de ruido inexistente
 - Dilución del ruido “prompt”
 - Permitir asimetría del etiquetado $\pm 10\%$
- Hadronico
 - Calibrado del etiquetado de sabor
 - Limitado por estadística en la muestra de control $B \rightarrow D\pi$
 - Mejorará en el futuro con más estadística



Hadronico

Futura Prospectiva

- El resultado es la primera ronda de análisis.
- Run II CDF continuará hasta 2009
 - Objetivo a largo plazo: Observacion de la oscilación de B_s .
- Posibles mejoras
 - Más Luminosidad
 - Mejora de la estrategia de Trigger
 - Para alta luminosidad
 - Mejora del etiquetado de sabor
 - “Same side tagging”
 - mejora substancial en ϵD^2
 - Mejora de la resolución del vértic
 - Más importante cuanto mayor Δm_s
 - Incluir más canales de desintegración
 - Reducir incertidumbre sistematica:
 - Hadronico: Mejor calibrado el etiquetado de sabor
 - Semileptonico: Mejor comprensión del fondo



Amplitud scan a la muestra de B^0 Hadronic ($\sim \times 10$ más que B_s)